

# 원거리기준점을 이용한 탄성파 측정시스템 연구

이태섭<sup>1</sup> · 황학수<sup>2</sup> · 성낙훈<sup>1</sup> · 이상규<sup>2</sup> · 김양수<sup>3</sup>

## 서론

최근 탄성파탐사는 구조물 설치를 위한 천부 지질조사 및 지반 안정성 평가 등과 같은 토목분야에 많이 사용되고 있다. 우리나라의 대부분 지역과 같이 도시화된 인구밀집 지역에서의 탄성파탐사는 주위여건상 그 송신원을 무한정 증가시킬 수 없으며, 또한 인공적 잡음(예, 소음, 진동, 전력선 잡음 등)에 의해 양질의 자료를 얻기가 매우 어렵다. 본 논문은 양질의 탄성파 자료를 얻기 위한 연구의 일환이며, 잡음제거의 기초가 되는 방법으로는 원거리/근거리 기준점을 이용하여 상관 측정을 하였다. 본 논문에서는 상관측정을 위해 개발된 측정시스템, 잡음 시계열 그리고 스팩트럼 분석에 대한 설명을 하였다. 기준점의 센서로는 마이크(Microphone)와 EM(Electromagnetic)루프로서, 각각 소음에 의한 잡음과 전력선에 의한 잡음 측정에 사용하였다.

## 자료측정 시스템

자료측정 시스템은 크게 3부분, 즉 센서부, 필터부 그리고 A/D변환기(Analogue-to-Digital converter)를 포함한 컴퓨터로 구성되었다(Fig. 1). 잡음측정 센서로는 선택형 증폭기(selectable pre-amplifier)가 내장된 마이크와 EM루프를 사용하였으며, EM루프의 크기와 권수는 각각 45cm × 45cm와 100이다. 필터부는 신호를 100배까지 증폭할 수 있는 선택형 증폭기와 차단주파수가 1kHz와 100kHz인 선택형 저주파수통과필터로 구성되었다. 사용된 A/D변환기는 National Instrument사의 12-bit A/D변환기인 AT-MIO/AI E-1으로서, 초당 최대 1.2M sample까지 측정할 수 있다. 또한, 자료측정 시스템의 모든 조정은 그래픽 프로그램 언어인 LabView를 사용하였고 측정 컴퓨터는 Pentium 166 MHz로서, 측정시스템의 잡음을 최소화하기 위하여 직류전원을 사용하였다.

## 자료측정 및 분석

소음의 상관측정(correlation measurement)이 수행된 지역은 김포공항부근으로 두 측정시스템의 센서는 마이크와 수진기이고, 사용된 차단주파수는 1kHz 그리고 동시측정을 위하여 디지털 트리거를 사용하였다. Fig. 2는 두 센서에서 측정된 잡음의 시계열을 도시한 것으로서, 두 시계열은 높은 상관성을 보이고 있다. 수진기에 측정된 잡음의 진폭은 약  $\pm 4mV$ 이며, 이에 비하여 마이크에 측정된 잡음의 진폭은 상대적으로 큰 약  $\pm 20mV$ 이다. Fig. 3은 수진기와 마이크에서 측정된 잡음의 파워 스팩트럼으로서, 두 스팩트럼의 가장 큰 차이는 상대적인 저주파수 대역에서 일어나고 있다. 전체적으로 수진기에 측정된 잡음의 스팩트럼 파워는 주로 600Hz이하에 분포하고 있는 반면에 마이크에 측정된 잡음의 파워는 주로 200Hz이상에 분포하고 있다. 예로서, 100과 700Hz에서 두 스팩트럼의 차이는 각각

1) 한국자원연구소, 자원연구부

2) 한국자원연구소, 자연재해방재단

3) 충남대학교, 지질학과

20dB(수진기에 측정된 잡음이 큼)과 30dB(마이크에 측정된 잡음이 큼)이다. 그러므로 두 센서에 측정된 잡음의 스펙트럼 분석으로부터 간단한 스케일링(scaling)기법으로는 수진기에 야기된 잡음을 제거할 수 없다는 것을 알 수 있다.

Fig. 4는 전력선에 의해 발생되는 잡음에 대한 상관 측정의 예로서, 사용된 센서로는 수진기와 EM루프이며, 루프의 passive면적은  $20.25\text{m}^2$ 이다. 사용된 인공적 잡음원으로는 DC-AC인버터로서, 측정시간은 20초이며, 샘플링은 초당 5000이다. 두 다른 센서에 측정된 잡음의 상관성은 매우 높으며, 그 파형은 매우 일정하다.

## 결론

송신원의 파워증가가 제한되고 인공적 잡음(예, 전력선, 소음 등)이 존재하는 지역에서 양질의 탄성파 자료를 얻기 위한 연구의 일환으로 탄성 송신원에 반응을 나타내지 않는 센서를 사용한 상관측정 및 자료분석을 통하여 다음과 같은 결과를 얻었다.

첫째, 소음에 의한 두 센서(마이크와 수진기) 반응은 높은 상관성을 갖고 있으나, 두 센서 반응의 가장 큰 차이는 상대적인 저주파수 대역에서 일어나고 있다. 전체적으로 수진기에 측정된 잡음의 스펙트럼 파워는 주로 600Hz이하에 분포하고 있는 반면에 마이크에 측정된 잡음의 파워는 주로 200Hz이상에 분포한다.

둘째, 두 센서(EM루프와 수진기)에서 측정된 전력선잡음은 그 상관성이 매우 높으며, 또한 각 센서에 측정된 잡음의 파형은 매우 일정하다.

셋째, 두 센서에 측정된 잡음의 스펙트럼 분석으로부터 스케일링(scaling)기법으로는 수진기에 야기된 잡음을 제거할 수 없으며, 잡음제거를 위하여 다른 통계적(ARIMA) 또는 인공지능 기법이 필요하다.

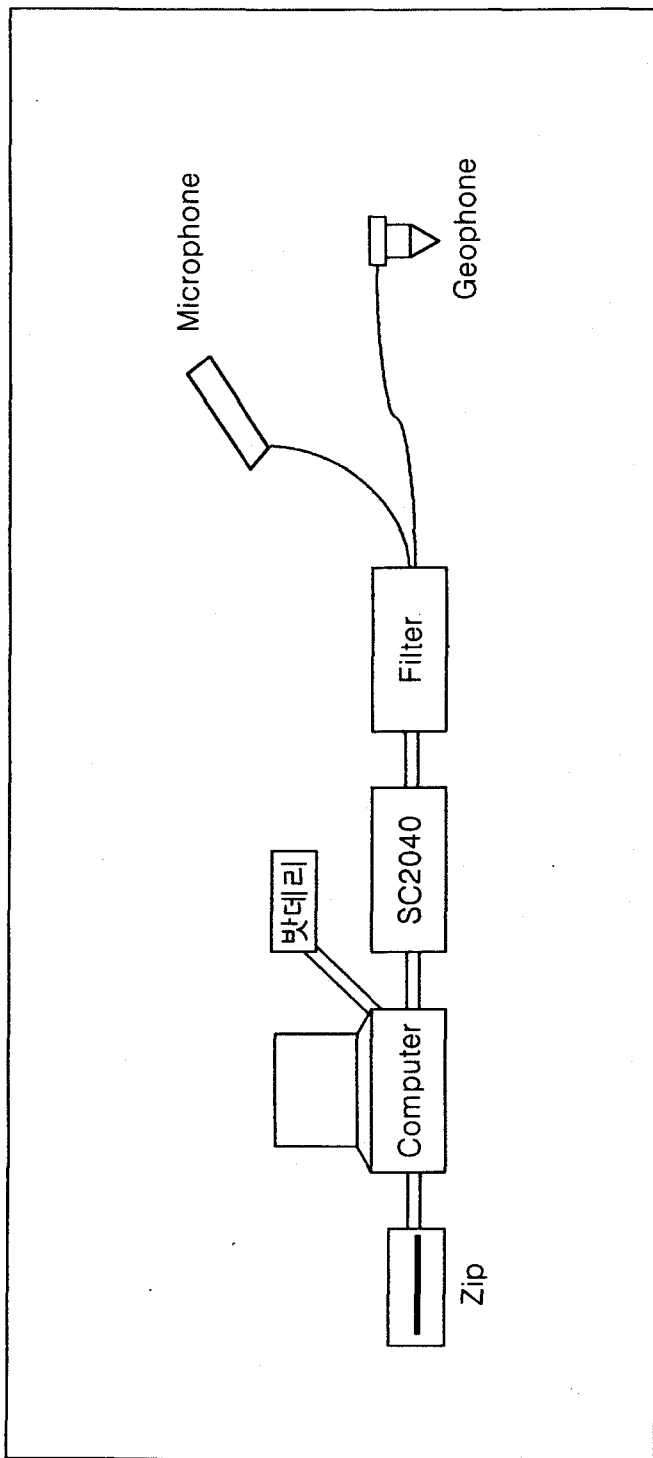


Fig. 1 Data acquisition system

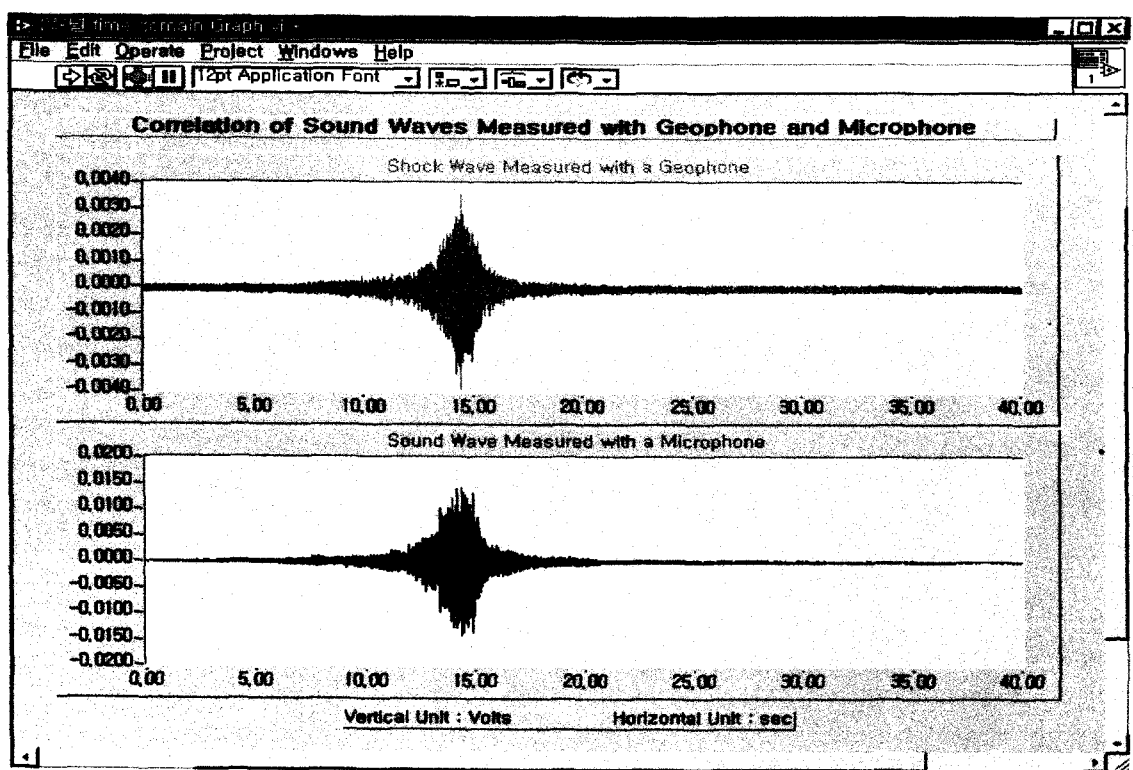


Fig. 2 Correlation measurements of sound waves measured with geophone and microphone.

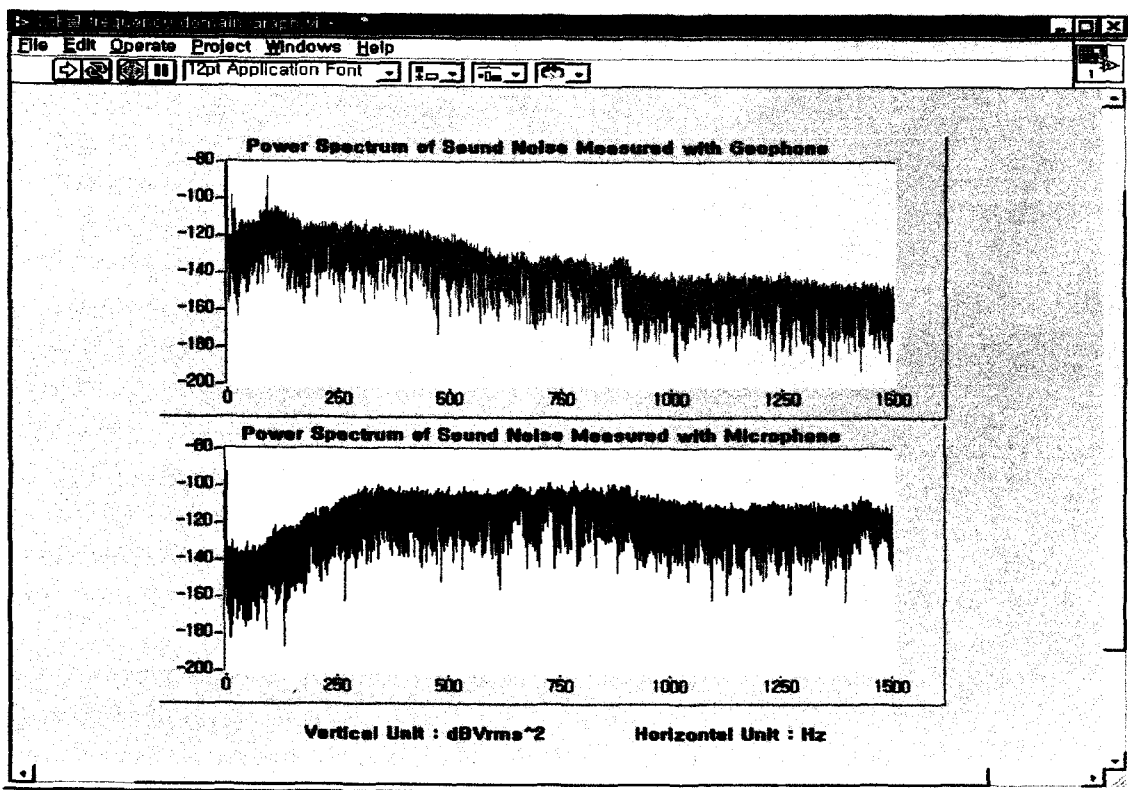


Fig. 3 Power spectra of sound waves measured with geophone and microphone.

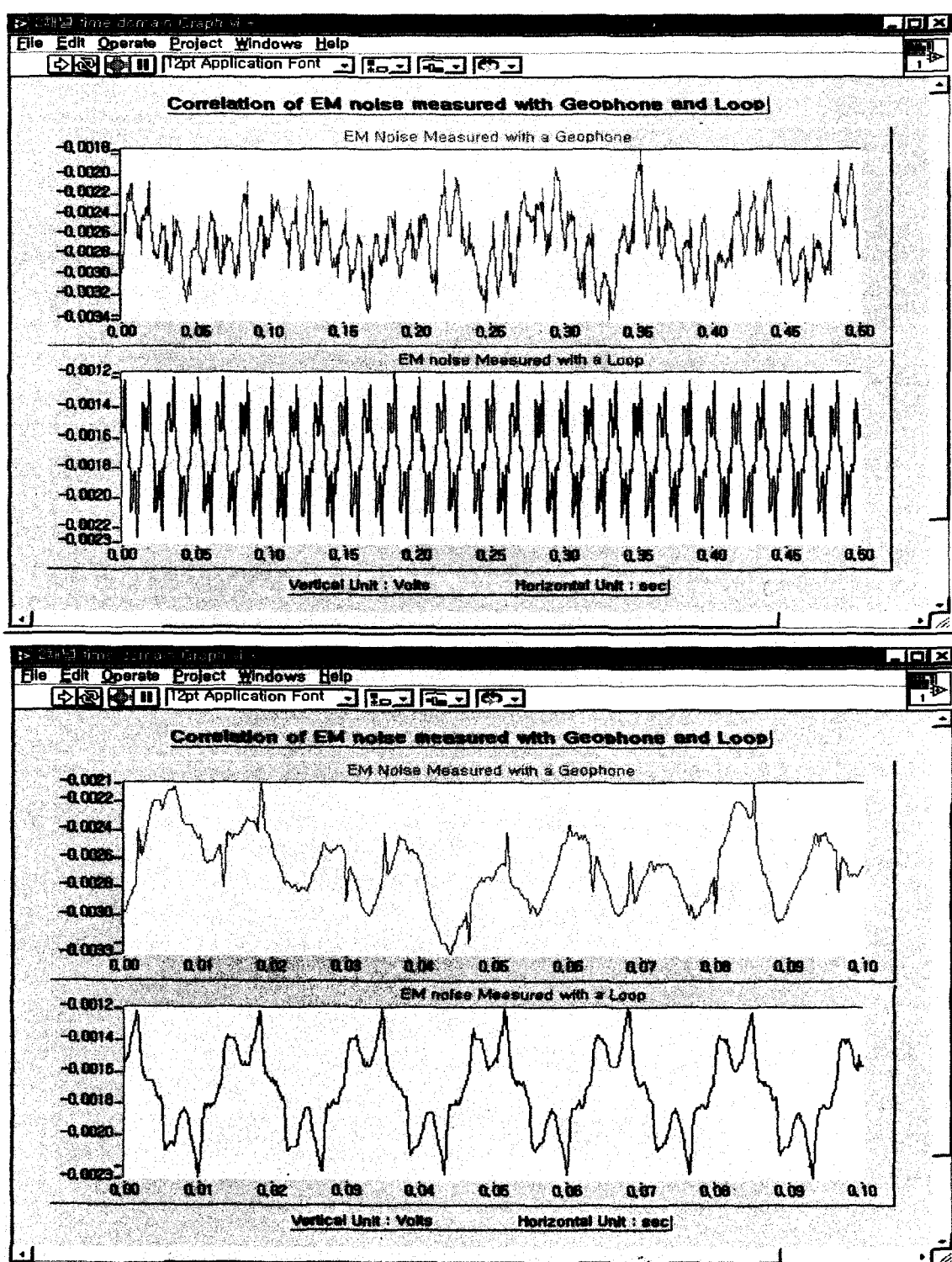


Fig. 4 Correlation measurements of EM noise measured with Geophone and EM loop